



Laboratorium EMVO Sp. J. [REDACTED]
ul. Jasna 1
00-013 Warszawa



AB 1630

Sprawozdanie z pomiarów pól elektromagnetycznych - środowisko nr 34/05/OŚ/2023 - ELT



Nr i nazwa stacji	BT44133_BYDGOSZCZ_GLINKI
Adres	85-858 Bydgoszcz, ul. Boja Żeleńskiego 1, woj. kujawsko-pomorskie
Opracowanie	[REDACTED]
Autoryzacja	[REDACTED]
Podpis	[REDACTED]
Data	2023-06-01

Spis treści

1. Informacje ogólne.....	3
2. Podstawa prawna.	3
3. Opis pomiarów.....	3
4. Zróżnicowanie dopuszczalne poziomy pól elektromagnetycznych.	4
5. Charakterystyka źródeł PEM.....	5
6. Wyniki pomiarów.....	5
7. Stwierdzenie zgodności	5
8. Oświadczenie.	7
9. Spis załączników.	7

1. Informacje ogólne.

Zleceniodawca	Axians Networks Poland Sp. z o.o. ul. Annopol 4a, 03-236 Warszawa Osoba udzielająca informacji – [REDAKTOWANE]
Istotne informacje dostarczone przez klienta	komplet informacji niezbędnych do wykonania pomiarów i opracowania sprawozdania
Dane otrzymane od klienta mogące mieć wpływ na ważność wyników	Dane anten sektorowych, dane anten radioliniowych, parametry pracy instalacji, poprawka pomiarowa, ustawienie pochylenia anten
Prowadzący instalację	TOWERLINK POLAND SP. Z.O.O. , ul. Kasprzaka 4, 01-211 Warszawa
Lokalizacja obiektu	85-858 Bydgoszcz, ul. Boya Żeleńskiego 1, woj. kujawsko-pomorskie
Miejsce instalacji anten	Dach budynku
Miejsce instalacji urządzeń	Outdoor
Osoby wykonujące pomiar	[REDAKTOWANE]
Data wykonania pomiaru	01.06.2023
Temperatura na początku pomiaru [°C]	19,0
Temperatura na koniec pomiaru [°C]	19,0
Warunki atmosferyczne	Brak opadów
Wilgotność na początku pomiaru [%]	55,0
Wilgotność na koniec pomiaru [%]	55,0
Godzina na początku pomiaru	9:30
Godzina na koniec pomiaru	10:45
Inne źródła pól elektromagnetycznych oznaczone na załączniku graficznym	Występują
Parametry pracy instalacji	Tryb eksploatacyjny

2. Podstawa prawna.

2.1 Normy i rozporządzenia:

- Obwieszczenie Ministra Klimatu i Środowiska z dnia 21 listopada 2022 r. w sprawie ogłoszenia jednolitego tekstu rozporządzenia Ministra Klimatu w sprawie sposobów sprawdzania dotrzymania dopuszczalnych poziomów pól elektromagnetycznych w środowisku (Dz.U. 2022 poz. 2630)
- Rozporządzenie Ministra Zdrowia z dnia 17 grudnia 2019 r. w sprawie dopuszczalnych poziomów pól elektromagnetycznych w środowisku (Dz.U. 2019 poz. 2448)
- Obwieszczenie Marszałka Sejmu Rzeczypospolitej Polskiej z dnia 1 grudnia 2022 r. w sprawie ogłoszenia jednolitego tekstu ustawy - Prawo ochrony środowiska (Dz.U. 2022 poz. 2556).

3. Opis pomiarów

Metodologia pomiarowa	Pomiary w oparciu o Rozporządzenie Ministra Klimatu z dnia 17 lutego 2020 r. w sprawie sposobów sprawdzania dotrzymania dopuszczalnych poziomów pól elektromagnetycznych w środowisku (Dz.U. 2022 poz. 2630).
Cel badań	Określenie wartości natężenia pola elektrycznego w miejscach dostępnych dla ludności.
Opis zestawu pomiarowego	Miernik Narda NBM 520, Sonda EF 9091, o zakresie pomiarowym 0,7 V/m - 300V/m pracująca w paśmie 0,1 – 90 GHz, świadectwo wydane przez Laboratorium Wzorców i Metrologii Pola Elektromagnetycznego, Instytut Telekomunikacji, Teleinformatyki i Akustyki Politechniki Wrocławskiej. Świadectwo ważne do 07.07.2023. Miernik Narda NBM 520, Sonda EF 9091 pracująca w zakresie temperatury -10°C - +50°C oraz wilgotności 5% - 95%. Niepewność rozszerzona wynosi 57% przy poziomie ufności 95% z uwzględnieniem współczynnika rozszerzenia k=2.
Wyposażenie pomocnicze	Termohigrometr Termoprodukt, typ: Termik+, Nr. inwentarzowy 37/WL, nr identyfikacyjny 700618, świadectwo wzorcowania nr 1763/AH/19 z dn. 29.07.2019 r. wydane przez Laboratorium Pomiarowe "MUTECH". Przymiar wstęgowy STABILA, Nr. inwentarzowy 36/WL, nr identyfikacyjny 31WL, świadectwo wzorcowania nr 6W1/1826/19 z dn. 02.08.2019 r. wydane przez Dyrektora Okręgowego Urzędu Miar w Gdańsku. GPS Garmin 64s okresowo sprawdzany w punktach osnowy geodezyjnej klasy 3 na podstawie licencji punktu, zgodnie z procedurą sprawdzeń okresowych IS/PO16-11/03.
Pomiary zostały wykonane	<ol style="list-style-type: none">1. na głównych i pomocniczych kierunkach pomiarowych, na kierunkach zbliżonych do azymutów anten oraz w dodatkowych pionach pomiarowych zgodnie z wymaganiami pkt 12, 13, 14 i 19 Rozporządzenia Ministra Klimatu z dnia 17 lutego 2020 r. (Dz.U. 2022 poz. 2630).2. na obszarze pomiarowym, dla którego, na podstawie uprzednio przeprowadzonych obliczeń stwierdzono w miejscach dostępnych dla ludności występowanie pól elektromagnetycznych o najwyższym poziomie, które pochodzą z badanej instalacji zgodnie z wymaganiami pkt 5 ppkt 2 oraz pkt 13 ppkt 1 Rozporządzenia Ministra Klimatu z dnia 17 lutego 2020 r. w sprawie sposobów sprawdzania dotrzymania dopuszczalnych poziomów pól elektromagnetycznych w środowisku (Dz.U. 2022 poz. 2630). Wyniki obliczeń nie uwzględniały parametrów pracy instalacji innych operatorów występujących na obiekcie bądź w obszarze pomiarowym.3. w miejscach dostępnych dla ludności.4. miejsca niedostępne podczas wykonywania pomiarów wskazane zostały w pkt 6 (tabeli wyniki pomiarów)
Szczególne warunki podczas wykonywania pomiarów	Pomiary wykonane zostały podczas obowiązywania w kraju stanu zagrożenia epidemicznego, zgodnie z art. 122a ust. 1b Ustawy z dnia 27 kwietnia 2001 r. – Prawo ochrony środowiska (Dz. U. z 2019 r. poz. 1396, z późn. zm.9))
Warunki pracy urządzeń nadawczych	Tryb pracy eksploatacyjny.

4. Zróżnicowanie dopuszczalne poziomy pól elektromagnetycznych.

Zakresy znajdują się w Dzienniku Ustaw z dnia 17 grudnia 2019 r. przedstawione są w tabeli nr 2 (Dz. U. z 2019r. poz. 2448).

Parametr fizyczny	Składowa elektryczna E (V/m)	Składowa magnetyczna H (A/m)	Gęstość mocy S (W/m ²)
Zakres Częstotliwości pola elektromagnetycznego			
od 400 MHz do 2000 MHz	$1,375 \times f^{0,5}$	$0,0037 \times f^{0,5}$	f / 200
od 2 GHz do 300 GHz	61	0,16	10

5. Charakterystyka źródeł PEM.

Zgodnie z informacją otrzymaną od Klienta pomiary zostały wykonane przy ustawieniach pochylenia anten zgodnych z pkt. 13, ppkt 2 Rozporządzenia Ministra Klimatu z dnia 17 lutego 2020 roku.

Tabela 1. Anteny sektorowe - dane otrzymane od klienta

Typ anteny	Współrzędne geograficzne	Azymut mechaniczny [°]	Azymut elektryczny [°]	Wysokość zawieszenia anten (środek anteny) n.p.t. [m]	Pasma częstotliwości [MHz]	Zakres pochylenia elektrycznego [°]	Średnie pochylenie anten (ustawione do pomiarów PEM) [°]	Zakres pochylenia mechanicznego [°]	Moc EIRP [W]	Suma EIRP [W]
120335	18°01'17.57"E 53°06'30.94"N	0	0	20,28	1800	1,0 - 10,0	5,5	0,0	4715	17363
					2100	1,0 - 10,0	5,5		6826	
					900	2,0 - 10,0	5,5		5822	
120335	18°01'17.57"E 53°06'30.94"N	140	140	20,28	1800	1,0 - 10,0	5,5	0,0	4715	17363
					2100	1,0 - 10,0	5,5		6826	
					900	2,0 - 10,0	5,5		5822	
120335	18°01'17.57"E 53°06'30.94"N	240	240	20,28	1800	1,0 - 10,0	5,5	0,0	4715	17363
					2100	1,0 - 10,0	5,5		6826	
					900	2,0 - 10,0	5,5		5822	
120125	18°01'17.57"E 53°06'30.94"N	5	5	18,00	2600	1,0 - 10,0	5,5	0,0	21663	21663
120125	18°01'17.57"E 53°06'30.94"N	140	140	18,00	2600	1,0 - 10,0	5,5	0,0	21663	21663
120125	18°01'17.57"E 53°06'30.94"N	240	240	18,00	2600	1,0 - 10,0	5,5	0,0	21663	21663

Tabela 2. Anteny radioliniowe- dane otrzymane od klienta

Typ anteny	Współrzędne geograficzne	Azymut [°]	Średnica [m]	Pasma częstotliwości [GHz]	Zysk energetyczny [dBi]	Moc wyjściowa nadajnika [dBm]	EIRP [W]	Wysokość środka elektrycznego anten n.p.t. [m]
UKY 220 73/DC15	18°01'17.57"E 53°06'30.94"N	226	0,3	38	40,4	12	173,78	18,65
VHLP1-80	18°01'17.57"E 53°06'30.94"N	226	0,3	80	43,5	8	141,25	18,65
UKY 230 41/14H	18°01'17.57"E 53°06'30.94"N	255	0,3	80	46,5	2	70,79	18,00
UKY 230 41/14H	18°01'17.57"E 53°06'30.94"N	301	0,3	80	43,5	4	56,23	18,00

6. Wyniki pomiarów.

Wyniki pomiarów pól elektromagnetycznych dla celów ochrony środowiska przedstawia poniższa tabela. Piony pomiarowe zostały przedstawione w zał. 2.

Nr PP	Pole-E [V/m]	Pole-E, +U [V/m]	Pole-H [A/m]	Pole-H +U [A/m]	Wys. pomiaru [m]	Opis pionu	Uwagi	WM _E	WM _H
1	0,7*	1,26	0,002	0,003	0,3-2,0	N:53°06'32.6" E:18°01'17.5"	otoczenie stacji bazowej - 50m wzdłuż gł. osi promieniowania - GKP	0,045	0,046

„Bez pisemnej zgody Laboratorium niniejsze sprawozdanie nie może być powielane inaczej, jak tylko w całości. Ponadto wyniki dotyczą tylko badanych obiektów przywołanych w niniejszym sprawozdaniu z badań”

2	0,7*	1,26	0,002	0,003	0,3-2,0	N:53°06'34.5" E:18°01'17.5"	otoczenie stacji bazowej - 100m wzdłuż gł. osi promieniowania - GKP	0,045	0,046
3	0,7*	1,26	0,002	0,003	0,3-2,0	N:53°06'35.8" E:18°01'17.4"	otoczenie stacji bazowej - 150m wzdłuż gł. osi promieniowania - GKP	0,045	0,046
4	0,7*	1,26	0,002	0,003	0,3-2,0	N:53°06'36.7" E:18°01'17.4"	otoczenie stacji bazowej - 180m wzdłuż gł. osi promieniowania - GKP	0,045	0,046
5	0,7*	1,26	0,002	0,003	0,3-2,0	N:53°06'34.3" E:18°01'18.0"	otoczenie stacji bazowej - 100m wzdłuż gł. osi promieniowania - GKP	0,045	0,046
6	0,7*	1,26	0,002	0,003	0,3-2,0	N:53°06'35.8" E:18°01'18.2"	otoczenie stacji bazowej - 150m wzdłuż gł. osi promieniowania - GKP	0,045	0,046
7	0,7*	1,26	0,002	0,003	0,3-2,0	N:53°06'36.6" E:18°01'18.3"	otoczenie stacji bazowej - 175m wzdłuż gł. osi promieniowania - GKP	0,045	0,046
8	0,8	1,26	0,002	0,003	0,3-2,0	N:53°06'29.7" E:18°01'19.4"	otoczenie stacji bazowej - 50m wzdłuż gł. osi promieniowania - GKP	0,045	0,046
9	0,8	1,26	0,002	0,003	0,3-2,0	N:53°06'28.5" E:18°01'21.2"	otoczenie stacji bazowej - 100m wzdłuż gł. osi promieniowania - GKP	0,045	0,046
10	0,7*	1,26	0,002	0,003	0,3-2,0	N:53°06'27.2" E:18°01'22.9"	otoczenie stacji bazowej - 150m wzdłuż gł. osi promieniowania - GKP	0,045	0,046
11	0,7*	1,26	0,002	0,003	0,3-2,0	N:53°06'25.9" E:18°01'24.6"	otoczenie stacji bazowej - 203m wzdłuż gł. osi promieniowania - GKP	0,045	0,046
12	0,8	1,26	0,002	0,003	0,3-2,0	N:53°06'30.2" E:18°01'15.1"	otoczenie stacji bazowej - 50m wzdłuż gł. osi promieniowania - GKP	0,045	0,046
13	0,7*	1,26	0,002	0,003	0,3-2,0	N:53°06'28.9" E:18°01'11.4"	otoczenie stacji bazowej - 130m wzdłuż gł. osi promieniowania - GKP	0,045	0,046
14	0,7*	1,26	0,002	0,003	0,3-2,0	N:53°06'27.9" E:18°01'09.1"	otoczenie stacji bazowej - 185m wzdłuż gł. osi promieniowania - GKP	0,045	0,046
15	0,9	1,41	0,002	0,004	0,3-2,0	N:53°06'29.8" E:18°01'15.7"	otoczenie stacji bazowej - 50m wzdłuż gł. osi promieniowania - GKP	0,050	0,051
16	0,8	1,26	0,002	0,003	0,3-2,0	N:53°06'30.7" E:18°01'14.8"	otoczenie stacji bazowej - 50m wzdłuż gł. osi promieniowania - GKP	0,045	0,046
17	0,7*	1,26	0,002	0,003	0,3-2,0	N:53°06'32.9" E:18°01'12.9"	otoczenie stacji bazowej - 100m wzdłuż gł. osi promieniowania - GKP	0,045	0,046
18	0,7*	1,26	0,002	0,003	0,3-2,0	N:53°06'31.9" E:18°01'19.3"	otoczenie stacji bazowej - GKP	0,045	0,046
19	0,8	1,26	0,002	0,003	0,3-2,0	N:53°06'31.2" E:18°01'19.5"	otoczenie stacji bazowej - GKP	0,045	0,046
20	0,7*	1,26	0,002	0,003	0,3-2,0	N:53°06'29.7" E:18°01'17.6"	otoczenie stacji bazowej - GKP	0,045	0,046
21	0,7*	1,26	0,002	0,003	0,3-2,0	N:53°06'32.9" E:18°01'16.1"	otoczenie stacji bazowej - GKP	0,045	0,046
A	0,7*	1,26	0,002	0,003	0,3-2,0	N:53°06'26.5" E:18°01'23.7"	Glinki 31/31g, pomiar przed budynkiem -DPP	0,045	0,046
B	0,7*	1,26	0,002	0,003	0,3-2,0	N:53°06'26.9" E:18°01'23.2"	Glinki 31c/31f, pomiar przed budynkiem -DPP	0,045	0,046
C	0,7*	1,26	0,002	0,003	0,3-2,0	N:53°06'27.5" E:18°01'22.3"	Glinki 31a, pomiar przed budynkiem -DPP	0,045	0,046
D	0,8	1,26	0,002	0,003	0,3-2,0	N:53°06'29.5" E:18°01'20.6"	Wiosny Ludów 7, pomiar przed budynkiem -DPP	0,045	0,046
E	0,8	1,26	0,002	0,003	0,3-2,0	N:53°06'30.7" E:18°01'19.7"	Boya-Żeleńskiego 2, pomiar przed budynkiem -DPP	0,045	0,046
F	0,7*	1,26	0,002	0,003	0,3-2,0	N:53°06'31.2" E:18°01'16.5"	Boya-Żeleńskiego 1, pomiar przed budynkiem -DPP	0,045	0,046
G	0,7*	1,26	0,002	0,003	0,3-2,0	N:53°06'28.0" E:18°01'19.2"	Glinki 26, pomiar przed posesją -DPP	0,045	0,046
H	0,7*	1,26	0,002	0,003	0,3-2,0	N:53°06'28.3" E:18°01'18.5"	Glinki 24a, pomiar przed posesją - DPP	0,045	0,046
I	0,7*	1,26	0,002	0,003	0,3-2,0	N:53°06'28.6" E:18°01'17.8"	Glinki 24, pomiar przed posesją -DPP	0,045	0,046
J	0,8	1,26	0,002	0,003	0,3-2,0	N:53°06'28.9" E:18°01'16.9"	Glinki 22a/22b, pomiar przed posesją -DPP	0,045	0,046
K	0,8	1,26	0,002	0,003	0,3-2,0	N:53°06'29.4" E:18°01'15.9"	Glinki 22, pomiar przed posesją -DPP	0,045	0,046
L	0,8	1,26	0,002	0,003	0,3-2,0	N:53°06'29.9" E:18°01'14.9"	Glinki 20, pomiar przed posesją -DPP	0,045	0,046
M	0,7*	1,26	0,002	0,003	0,3-2,0	N:53°06'30.4" E:18°01'12.6"	Gajewskiego 1/3/5/7, pomiar przed posesją -DPP	0,045	0,046

„Bez pisemnej zgody Laboratorium niniejsze sprawozdanie nie może być powielane inaczej, jak tylko w całości. Ponadto wyniki dotyczą tylko badanych obiektów przywołanych w niniejszym sprawozdaniu z badań”

N	0,7*	1,26	0,002	0,003	0,3-2,0	N:53°06'29.6" E:18°01'11.8"	Gajewskiego 9/11/13/15, pomiar przed posesją -DPP	0,045	0,046
O	0,7*	1,26	0,002	0,003	0,3-2,0	N:53°06'28.4" E:18°01'13.1"	Jaracza 16, pomiar przed posesją -DPP	0,045	0,046
P	0,7*	1,26	0,002	0,003	0,3-2,0	N:53°06'28.5" E:18°01'11.7"	Jaracza 17/19, pomiar przed posesją -DPP	0,045	0,046
R	0,7*	1,26	0,002	0,003	0,3-2,0	N:53°06'28.8" E:18°01'11.1"	Jaracza 21/23, pomiar przed posesją -DPP	0,045	0,046
S	0,7*	1,26	0,002	0,003	0,3-2,0	N:53°06'27.9" E:18°01'08.8"	Trieblera 17/19, pomiar przed posesją -DPP	0,045	0,046

Wynik pomiaru pole - E [V/m] - maksymalna wartość chwilowa zmierzona w danym pionie pomiarowym (uśredniona na podstawie punktu 11 załącznika do Rozporządzenia Ministra Klimatu z dnia 17 lutego 2020 r. w sprawie sposobów sprawdzania dotrzymania dopuszczalnych poziomów pól elektromagnetycznych w środowisku (Dz.U. 2022 poz. 2630)). Zgodnie z pkt. 7 załącznika do Rozporządzenia Ministra Klimatu z dnia 17 lutego 2020 r. w sprawie sposobów sprawdzania dotrzymania dopuszczalnych poziomów pól elektromagnetycznych w środowisku (Dz.U. 2020 poz. 258, Dz.U. 2022 poz. 1121) nie stosuje się poprawek pomiarowych.

Przyjęto najniższą dopuszczalną wartość składowej elektrycznej pola dla objętego pomiarami zakresu częstotliwości $\min(ME_{gr}) = 28 \text{ V/m}$ oraz składowej magnetycznej $\min(MH_{gr}) = 0,073 \text{ A/m}$.

* - wartość zmierzona poniżej zakresu akredytacji. Do obliczeń przyjęto wartość zgodną z dolną granicą akredytowanego zakresu pomiarowego metody.

GKP - główne kierunki pomiarowe

PKP - pomocnicze kierunki pomiarowe

DPP - dodatkowe punkty pomiarowe

PP - pion pomiarowy

U - niepewność pomiarowa rozszerzona, przy poziomie ufności 95%, z uwzględnieniem współczynnika rozszerzenia $k=2$

WM_E - wartość wskaźnikowa poziomu emisji pól elektromagnetycznych dla miejsc dostępnych dla ludności dla składowej elektrycznej pola

WM_H - wartość wskaźnikowa poziomu emisji pól elektromagnetycznych dla miejsc dostępnych dla ludności dla składowej magnetycznej pola

7. Stwierdzenie zgodności

Na podstawie wytycznych podanych w Rozporządzeniu Ministra Zdrowia z dnia 17 grudnia 2019 r. w sprawie dopuszczalnych poziomów pól elektromagnetycznych w środowisku (Dz.U. 2019 poz. 2448) oraz sposobów sprawdzania dotrzymania tych poziomów zgodnie z Rozporządzeniem Ministra Klimatu z dnia 17 lutego 2020 r. w sprawie sposobów sprawdzania dotrzymania dopuszczalnych poziomów pól elektromagnetycznych w środowisku (Dz.U. 2022 poz. 2630), dotyczących źródła wymagań, które muszą być spełnione, w oparciu o zasadę podejmowania decyzji zgodną z pkt. 26 Rozporządzenia Ministra Klimatu z dnia 17 lutego 2020 r. (Dz.U. 2022 poz. 2630), na podstawie wyników pomiarów pól elektromagnetycznych wykonanych w dniu 01.06.2023 stwierdzono, że wszystkie wyniki przeprowadzonych pomiarów w danym obszarze pomiarowym oraz wyznaczone na tej podstawie wskaźniki WME oraz WMH są mniejsze od wartości dopuszczalnych – zgodnie z przepisami wydanymi na podstawie art. 122 ust. 1 ustawy z dnia 27 kwietnia 2001 r. – Prawo ochrony środowiska – załącznikiem do Rozporządzenia Ministra Klimatu i Środowiska z dnia 17 lutego 2020 r. w sprawie sposobów sprawdzania dotrzymania dopuszczalnych poziomów pól elektromagnetycznych w środowisku (Dz.U. 2022 poz. 2630, pkt 26).

8. Oświadczenie.

Wyniki badania odnoszą się wyłącznie do badanego obiektu.

Bez pisemnej zgody sprawozdanie nie może być powielane inaczej, jak tylko w całości.

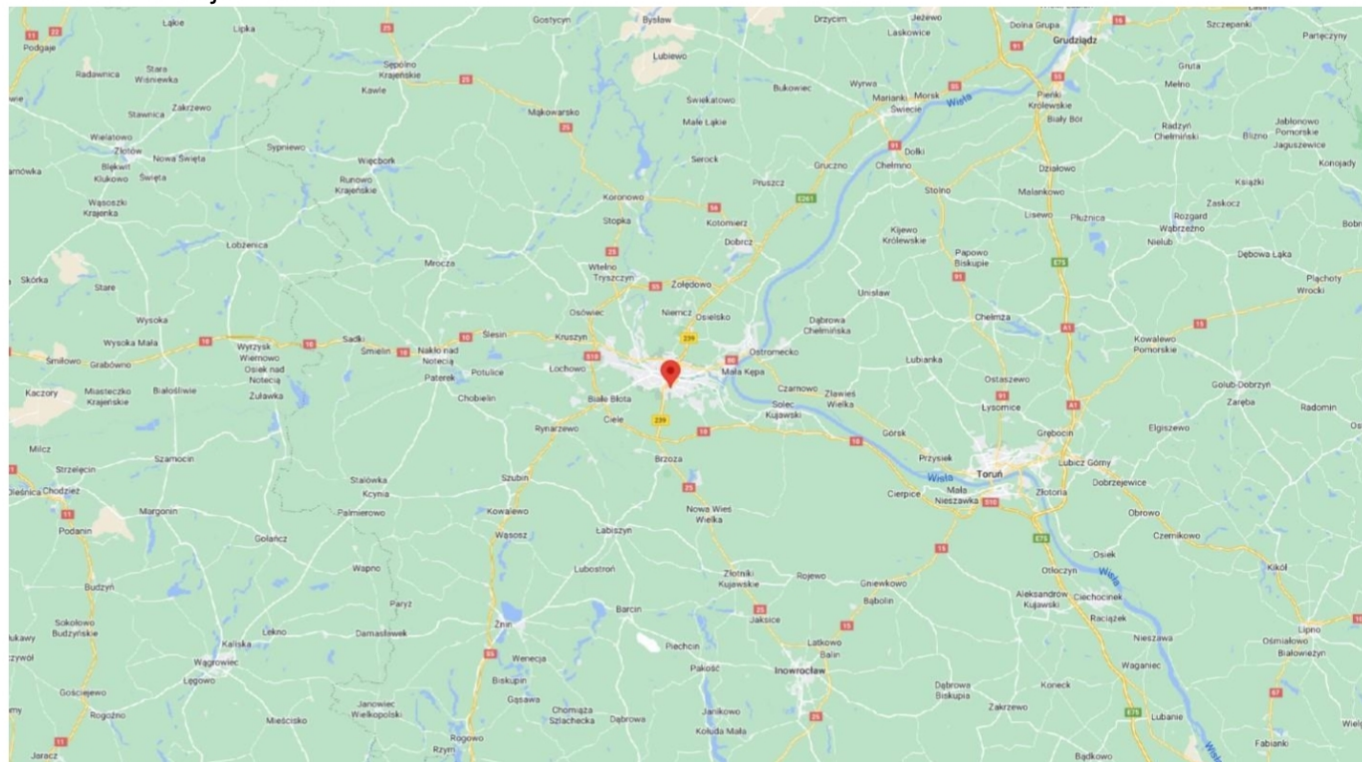
Uwagi i zastrzeżenia przyjmowane są w formie pisemnej.

9. Spis załączników.

- Zał. 1. Lokalizacja obiektu.
- Zał. 2. Widok pionów pomiarowych
- Zał. 3. Załączniki graficzne

Koniec sprawozdania

Zał. 1. Lokalizacja obiektu



Współrzędne geograficzne	
długość:	18°01'17.57"E
szerokość:	53°06'30.94"N

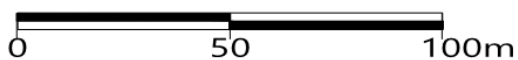
Załącznik 2. Widok pionów pomiarowych



LEGENDA:

-  brak dostępu
-  pion pomiaru
-  antena sektorowa
-  antena radioliowa

Skala:1:2500



Załącznik 3. Załączniki graficzne.

